

# UŽITNÝ VZOR

(19)  
ČESKÁ  
REPUBLIKA



ÚŘAD  
PRŮMYSLOVÉHO  
VLASTNICTVÍ

(21) Číslo přihlášky: 2015-31001  
(22) Přihlášeno: 23.04.2015  
(47) Zapsáno: 16.07.2015

(11) Číslo dokumentu:

**28 484**

(13) Druh dokumentu: **U1**

(51) Int. Cl.:

*G01J 5/58*  
*B82Y 15/00*

(2006.01)  
(2011.01)

- (73) Majitel:  
Vysoké učení technické v Brně, Brno - Veveří, CZ
- (72) Původce:  
Ing. Pavel Neužil, Ph.D., Praha 4 - Krč, CZ  
doc. Ing. Jaromír Hubálek, Ph.D., Brno - Štýřice,  
CZ
- (74) Zástupce:  
Ing. Hana Dušková, Na Kočovně 180, 281 03  
Chotutice

- (54) Název užitného vzoru:  
**Membráná miniaturního bolometru se  
zvýšenou absorpcí**

CZ 28484 U1

**Membrána miniaturního bolometru se zvýšenou absorpcí**Oblast techniky

5 Miniaturní bolometry, neboli mikrobolometry, jsou systémy obvykle používané na detekci infračerveného záření v oblasti 8 až 12  $\mu\text{m}$ , případně i delší. Jsou založeny na principu ohřevu tepelně izolované membrány a měření změny její teploty, která odpovídá množství absorbované energie. Předkládané řešení se týká vytvoření membrány tohoto miniaturního bolometru za využití nových materiálů.

Dosavadní stav techniky

10 Pole bolometrů je schopné detekce tepelné energie emitované člověkem na vzdálenost až půl kilometru i více. Je zřejmé, že bolometr musí být velmi citlivá součástka, protože množství tepla emitované člověkem je velmi malé. I toto malé množství je schopné ohřát membránu bolometru tak, aby se tato změna dala detektovat. Aby to bylo možné, membrána bolometru je tepelně izolovaná od substrátu a celá součástka je umístěná ve vakuu. Toto je známé řešení dle patentu US 6,621,083, Archango BS, Silveira GV, Goncalves AMB, et al., High-absorption wideband pixel for bolometer arrays. September 16, 2003. Membrána bolometru je zde vyrobena z tenké vrstvy  $\text{SiO}_2$  s kovovou absorpční vrstvou a rezonanční mezzerou pod membránou s odrazenou vrstvou pod bolometrem. Teplotní sensor v membráně je z oxidu vanadia s malým odporem a elektrickými přívody umístěnými na opačných stranách bolometru. Rezonanční mezera je v závislosti na snímaném spektru v rozsahu 0,8 až 2,5  $\mu\text{m}$ . To ale ještě nestačí, membrána bolometru musí mít vysokou absorpci, tedy v ideálním případě veškeré IR záření, které na membránu dopadne, musí být absorbováno, a tak přispět ke zvýšení její teploty.

Je několik způsobů, jak zvýšit absorpci membrány bolometrů, a to antireflexní vrstvou která má impedanci vakuua, vlastní materiál bolometrické membrány, rezonanční mezera pod membránou a speciální absorpční vrstva. Všechny tyto způsoby mají své specifické problémy.

25 Antireflexní vrstva není příliš účinná, změna materiálu membrány také ovlivňuje vlastnosti tepelné izolace membrány, rezonanční mezera o tloušťce 2,5  $\mu\text{m}$  nebo menší je komplikovaná na výrobu a konečně speciální absorpční vrstva je obvykle tvořena černým zlatem, které se komplikovaně nanáší, jak je popsáno v publikaci P. L. Richards. Bolometers for infrared and millimeter waves. J. Appl. Phys. 76, 1 (1994) - Souhrnný článek o vývoji bolometrů a v publikaci Bin Wang, Jianjun Lai, Erjing Zhao, Haoming Hu, Qian Liu, & Sihai Chen Vanadium oxide micro-bolometer with gold black absorbing layer. Optical Engineering, Volume 51, Issue 7, Optical Components, Detectors, and Displays. Tento článek popisuje chování bolometrů s absorpční vrstvou ze speciálně připraveného zlata nanášeného za nízkého vakuua, takže se vrstva zlata chová podobně, jako absolutně černé těleso.

35 V publikaci M. Tarasov, J. Svensson, L. Kuzmin, and E. E. B. Campbell, Carbon nanotube bolometers. Applied Physics Letters 90, 163503 (2007). Je popisováno využití jednostěnných uhlíkových nanotrubic, dále jen CNT, pro absorpci IR záření jako kryogenní bolometr, tzn. s kryogenním chlazením pro použití pro detekci mikrovlnného záření v oblasti 10 až 2000  $\mu\text{m}$ . Tyto nanotrubice byly na bolometru umístěny horizontálně a nepracovaly jako absolutně černé těleso. 40 Způsob přípravy CNT je z roztoku, což je nekompatibilní technologie s mikrotechnologiemi, které se využívají při výrobě matice mikrobolemetrů na jednom čipu. Jedná se o ležící dispergované CNT, které zde navíc přebírají funkci rezistivního bolometru, takže se jedná o bolometr a absorpční materiál v jednom. Absorpce vrstvy zde není zkoumána. Nevýhodou tohoto přístupu je využití jednostěnných uhlíkových nanotrubic, což je technologicky náročnější a nelze je připravit přímo na membráně bolometru. Navíc řešení obsahuje technicky i rozměrově náročného kryogenní chlazení.

45 Publikované řešení dle Ali E. Aliev, Bolometric detector on the basis of single-wall carbon nanotube/polymer composite. Infrared Physics & Technology 51 (2008) 541-545 popisuje bolometr, který byl integrován se svazkem tenkých uhlíkových nanotrubek, které byly chemicky modifikovány pro zvýšení účinnosti absorpce infračerveného záření. Tyto nanotrubice však byly na

bolometru umístěny horizontálně a nepracovaly jako absolutně černé těleso. Řešení se zabývá opět využitím jednostěnných CNT za pomocí spin-coatingu, což je obdoba předchozího řešení.

Celková tloušťka bolometru je 17  $\mu\text{m}$ . U takto připravených CNT je měřena absorpcí, která je sice v oblasti viditelného spektra prakticky 1, ale směrem k vlnovým délkám infračerveného spektra se výrazně zhoršuje. Bolometr je poměrně velký a tímto způsobem připravený bude obtížné ho miniaturizovat. V obou případech nejde o technologie kompatibilní s mikrotechnologiemi a nelze je využít pro matici mikrobolometrů a neobsahují rezonanční mezeru.

Z výše uvedeného vyplývá, že doposud byly hledány anorganické materiály s vysokou absorpční účinností jako je černé zlato, černá platina, tlustá vrstva  $\text{Si}_3\text{N}_4$  a multivrstvy. Objevují se publikace využívající uhlíkové nanotrubice, ale jde o zcela jinou metodu vytváření absorpční vrstvy, která má taktéž jiné vlastnosti. Tyto metody budou nejsou technologicky kompatibilní s výrobou bolometrů, nebo nežádoucím způsobem ovlivňují parametry bolometru, jako je teplotní časová konstanta.

#### Podstata technického řešení

Výše uvedené nevýhody odstraňuje membrána miniaturního bolometru se zvýšenou absorpcí, opatřená senzorem teploty membrány, podle předkládaného řešení. Podstatou nového řešení je, že na membráně je vytvořena z těsně vedle sebe vertikálně umístěných uhlíkových nanotrubic absorpční vrstva o tloušťce v rozmezí 1  $\mu\text{m}$  až 25  $\mu\text{m}$ . Tyto nanotrubice mohou být jednostěnné nebo multistěnné.

Protože se růst nanotrubic provádí na mikrobolometrech, které jsou tepelně izolované, jejich ohřevem se automaticky nebude ohřívat substrát, respektive se bude ohřívat jen marginálně.

Hlavní výhodou oproti obvyklým způsobům je, že se zde využívají vertikálně uspořádané uhlíkové nanotrubice, které dohromady tvoří absolutně černé těleso. Ve srovnání se známými technikami pro zvyšování absorpce záření uvedené řešení zajišťuje necitlivost vytvořeného miniaturního bolometru na vlnové délce absorbovaného záření.

#### Objasnění výkresů

Na Obr. 1A je uvedena konstrukce membrány v řezu a na Obr. 1B v pohledu shora. Způsob přípravy uhlíkových nanotubic pak znázorňují Obr. 2A a Obr. 2B. Na Obr. 3A a 3B jsou uvedena absorpční spektra vrstvy vertikálně uspořádaných uhlíkových nanotubic změřené pomocí Fourierovy transformace v infračervené oblasti (FTIR) a v oblasti terahetzových vln.

#### Příklady uskutečnění technického řešení

Nové řešení spočívá ve vytvoření funkční vrstvy membrány využívající vertikálně uspořádaných jednostěnných nebo multistěnných uhlíkových nanotubic  $\mathcal{I}$ , dále jen VACNT, jako absorpční materiál a ve způsobu jejich přípravy přímo na membráně. Hlavní rozdíl mezi obvyklými způsoby a předmětem tohoto řešení je v tom, že zde se využívají vertikálně uspořádané trubice, které dohromady tvoří absolutně černé těleso. Jiný způsob nanášení uhlíkových nanotubic  $\mathcal{I}$  nedosahuje tak vysoké absorpce s necitlivostí k vlnové délce. Tato technologie nejsou kompatibilní s technologií výroby membrány z  $\text{SiO}_2$ .

Uhlíkové nanotrubice  $\mathcal{I}$  jsou známé svými unikátními vlastnostmi. Při pohledu na temnou vrstvu vertikálně zarovnaných uhlíkových nanotubic  $\mathcal{I}$  je jasné, že tato vrstva má určitě výborné absorpční vlastnosti, minimálně ve viditelné oblasti spektra. Po změření jejich vlastností pomocí FTIR spektroskopie bylo zjištěno, že ve spektrální oblasti od 7 do 25  $\mu\text{m}$  tato vrstva absorbuje záření s účinností blížící se 100 %, Obr. 3A. Tyto materiály mají velmi dobré absorpční vlastnosti i v oblasti THz, Obr. 3B. Ta je zajímavá tím, že zde stejně jako v infračervené IR oblasti existuje jen velmi málo způsobů detekce tohoto záření.

Konstrukce membrány  $\mathfrak{Z}$  podle předkládaného řešení je uvedena v řezu na Obr. 1A a v pohledu shora na Obr. 1B. Je zde znázorněn křemíkový substrát  $\mathfrak{L}$  s jámou  $\mathfrak{Z}$ , nad kterou je zavěšena membrána  $\mathfrak{Z}$  na dvou závěsech, menší než  $100 \times 100 \mu\text{m}^2$  tvořená první vrstvou  $\mathfrak{L}$  oxidu křemiči-

tého SiO<sub>2</sub> vyrobenou odleptáním křemíku pod membránou 3, přičemž zde není uplatněna rezonanční mezera. Na membráně 3 je vytvořen meandr 5 z titanové vrstvy, který slouží jako senzor teploty. Tento meandr 5 je překryt druhou vrstvou 6 oxidu křemičitého SiO<sub>2</sub>, na které je vytvořena vrstva uhlíkových nanotrubic 7. Systém je hermeticky uzavřen v pouzdru a vyvakuován.

- 5 Na Obr. 2A a 2B je znázorněn způsob uspořádání membrány 3 s meandrem 5 bolometru spolu s vertikálními uhlíkovými nanotrubicemi 7 na membráně 3 miniaturního bolometru. Vrstva VACNT se vyrobí pomocí techniky depozice z plynné fáze. Na membráně 3 se vytvoří z některého z materiálů ze skupiny kobalt, železo, nikl vrstvička nanokrystalů katalytického materiálu o tloušťce 1 až 20 nm. V uvedeném příkladu byly tyto nanokrystaly vytvořeny na druhé vrstvě 6 oxidu křemičitého SiO<sub>2</sub>. Poté se čip 8 s membránou 3 uzavře do komory 9 opatřené víkem 10 vstupem 11 plynu a výstupem 12 plynu a komora 9 se naplní inertním plynem, například dusíkem. Následně se membrána 3 zahřeje na teplotu mezi 700 °C a 1100 °C podle typu katalyzátoru použitého uhlovodíku. K inertnímu plynu se přidá C<sub>2</sub>H<sub>2</sub>, CH<sub>4</sub>, nebo etylen diamin. Na membráně 3 začnou růst vertikálně uspořádané uhlíkové nanotubice 7 a v okamžiku, kdy se dosáhne tloušťky vrstvy tvořící nanotubice 7 mezi 1 µm a 25 µm, se vypne přívod C<sub>2</sub>H<sub>2</sub>, CH<sub>4</sub>, nebo etylen diaminu, čímž se uhlovodík vytěsní inertním plynem a vypne se zdroj 13 tepla ohřívající tepelně izolovanou membránu 3.

V uvedeném příkladu došlo k rozkladu uhlovodíku a růstu uhlíkových nanotrubic 7 v oblastech, kde se nacházel katalyzátor, například kobalt, za teploty 900 °C.

- 20 Depozice nanotubic 7 pomocí uvedené techniky rozkladem uhlovodíků při teplotě 900 °C není kompatibilní s technologií výroby bolometrů. Pro tento účel byl vyvinut způsob. Obr. 2A a 2B, selektivní depozice, přičemž je lokálně ohřátá membrána 3 bolometru na požadovanou teplotu a tím je zajištěn růst CNTs pouze na membráně 3. Při výrobě takto realizované membrány 3 bolometru jsou dva možné způsoby zahřátí membrány 3. Jedním je ohřev pomocí paprsku laseru nebo zdroje záření, jako je například infračervené záření, o absorbovaném výkonu minimálně 100 µW. Druhým způsobem je použití zdroje impulzů elektrického proudu a napětí o výkonu minimálně 100 µW, kde tyto impulzy jsou přiváděny na Ti meandr 5 v bolometru.

- 30 V obou případech je možné nechat narůst vrstvu uhlíkových nanotrubic 7 na hotových bolometrech dokonce po jejich zapouzdření, aniž by došlo k jejich poškození. Pokud poroste vrstva uhlíkových nanotrubic 7 za sníženého tlaku použitého plynu, teplotní ztráty z membrány 3 bolometru jsou dané především tepelnou vodivostí respektive odporem přívodů bolometru. Bolometr, který byl podle uvedeného příkladu realizován, má tepelný odpor  $2 \times 10^{-7}$  W/K, takže k jeho ohřevu na teplotu 900 °C stačí 175 µW. To je velmi malé množství energie, které zabraňuje ohřát vlastní součástku a tím ji poškodit.

- 35 Lze tedy konstatovat, že se jedná o nový způsob vytváření membrány 3 bolometru za účelem zvýšení efektivity absorpce infračerveného záření a tím zvýšení citlivosti a odezvy na dopadající infračervené záření. Toho je dosaženo absorpční vrstvou jednostěnných nebo multistěnných uhlíkových nanotrubic 7 vytvořenou přímých růstem ve vertikálním uspořádání a způsobem jejího vytvoření na hotovém mikrobolometru s mikromechanickými membránami.

- 40 Dochází zde tedy ke zvýšení účinnosti absorpce bolometrické membrány 3, aniž by došlo k nezádoucímu zhoršení parametrů bolometru. Tímto způsobem vznikne bolometr s vysokou absorpční účinností. Pokud se takový bolometr použije pro infračervenou kameru, bude mít vysokou citlivost. Také na druhou stranu bude možné při nominální citlivosti zmenšit velikost membrány 3 bolometru a tím zmenšit velikost celého čipu. V takovém případě bude možné připravit na křemíkové desce nominální velikosti více čipů a tím snížit jejich jednotkovou cenu.

Hlavní rozdíl mezi obvyklými způsoby a předmětem tohoto řešení je v tom, že zde se využívají vertikálně uspořádané trubice, které dohromady tvoří absolutně černé těleso. Tudíž ve srovnání se známými technikami zvyšování absorpce záření, pomocí předkládaného řešení lze docílit necitlivosti na vlnové délce absorbovaného záření.

Průmyslová využitelnost

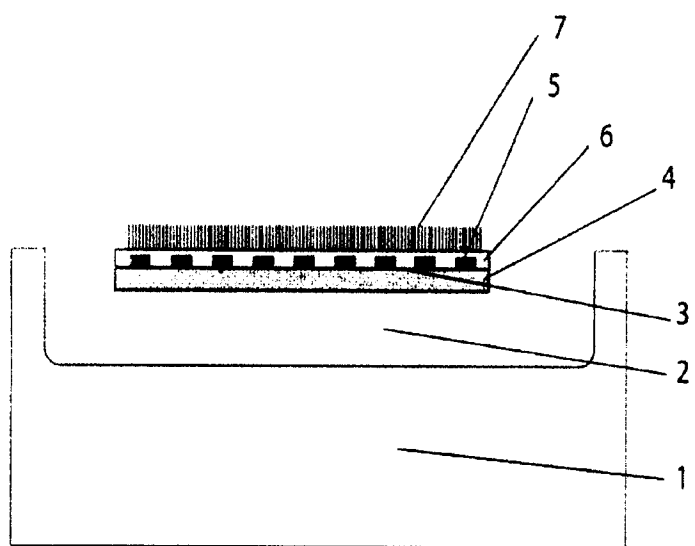
Membrána miniaturního bolometru podle uvedeného řešení je využitelná například pro termovizi, bezdotykové měření teploty, měření tepelně zatížených míst jako jsou izolátory na rozvodech vysokého napětí, přetížené části výkonových rozvodů, 3f rozvodné transformátory, tepelné úniky, tepelné můstky, snímání tepelného obrazu přes clonící materiály a podobně.

5

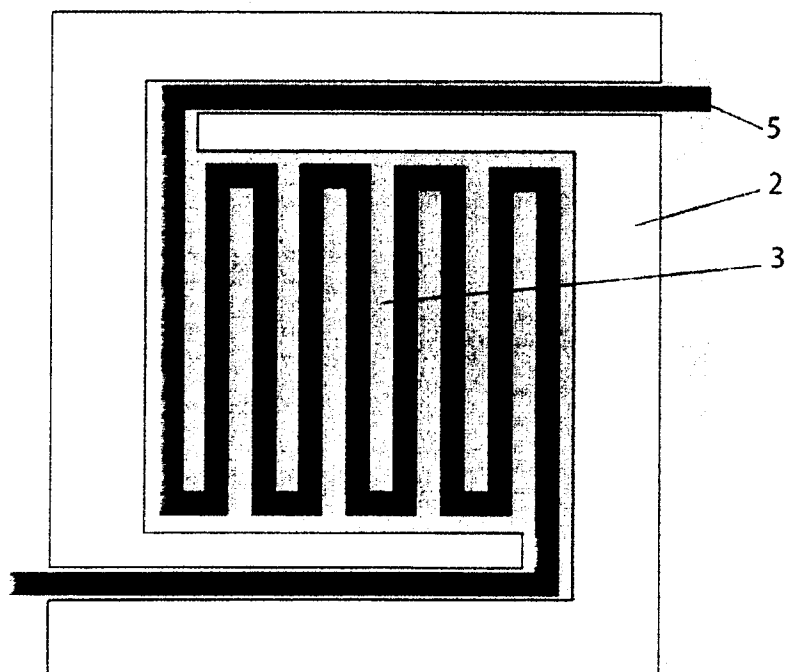
**NÁROKY NA OCHRANU**

1. Membrána miniaturního bolometru se zvýšenou absorpcí, opatřená senzorem teploty membrány, **vyznačující se tím**, že na membráně (3) je vytvořena absorpční vrstva z těsně vedle sebe vertikálně umístěných uhlíkových nanotrubic (7) o výšce vrstvy v rozmezí 1 µm až 25 µm.
- 10 2. Membrána podle nároku 1, **vyznačující se tím**, že nanotrubice (7) jsou multistěnné.
3. Membrána podle nároku 1, **vyznačující se tím**, že nanotrubice (7) jsou jednostěnné.

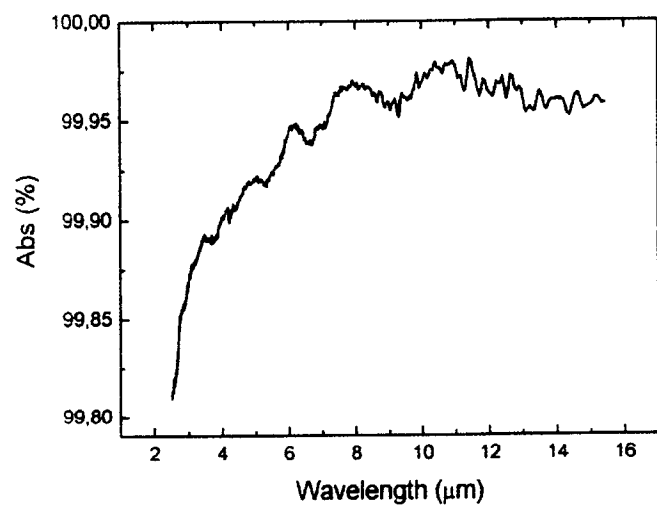
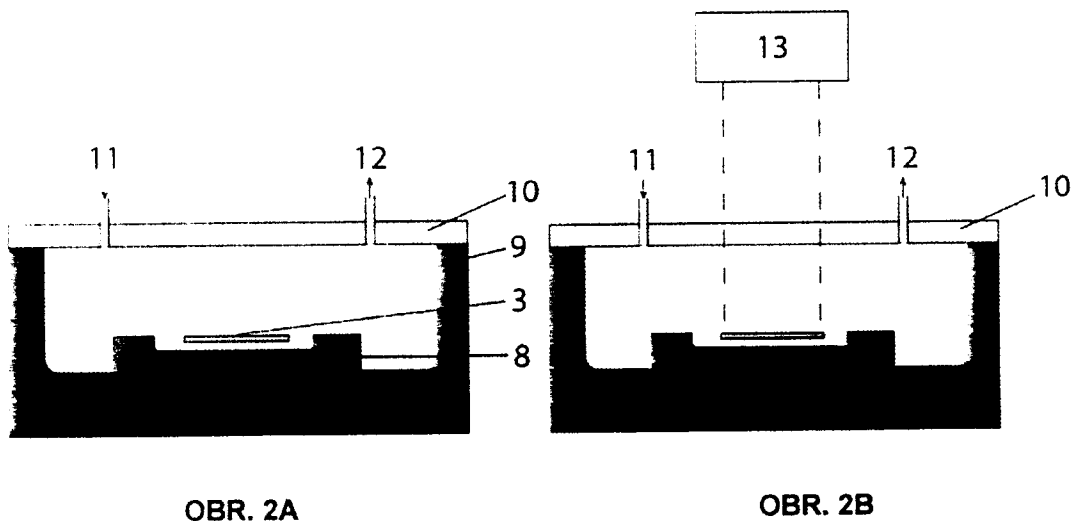
3 výkresy



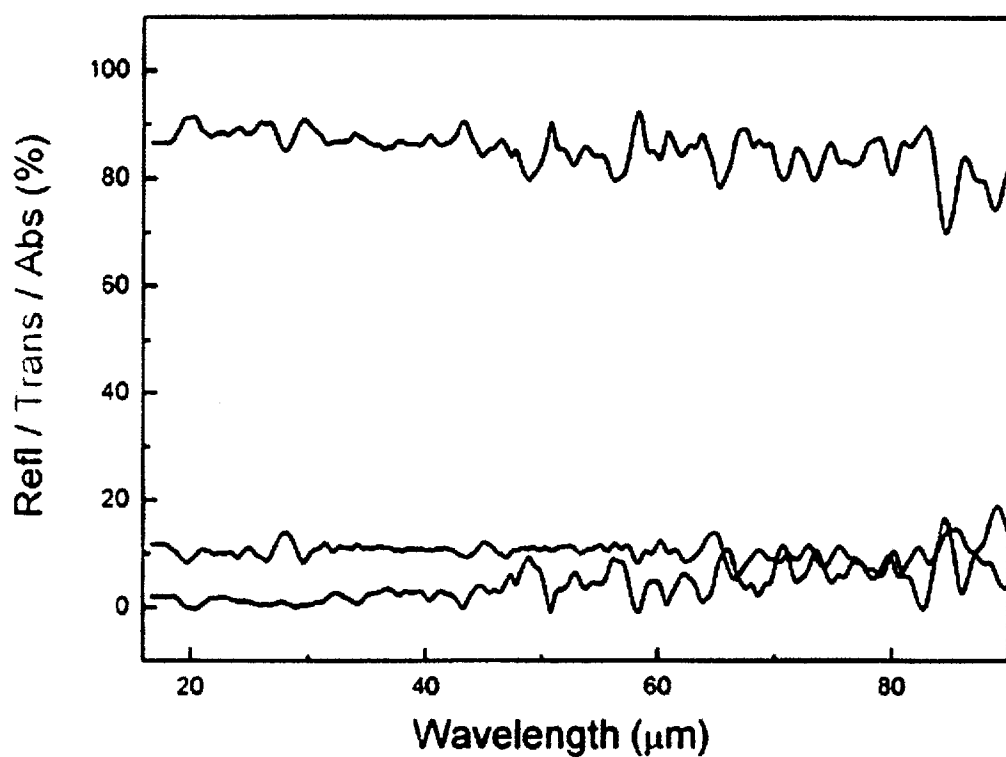
OBR. 1A



OBR. 1B



OBR. 3A



**OBR. 3B**

---

Konec dokumentu

---